

Análise Numérica num Dispositivo Coletor de Energia Assimétrico Não Linear

Roberto Luo¹

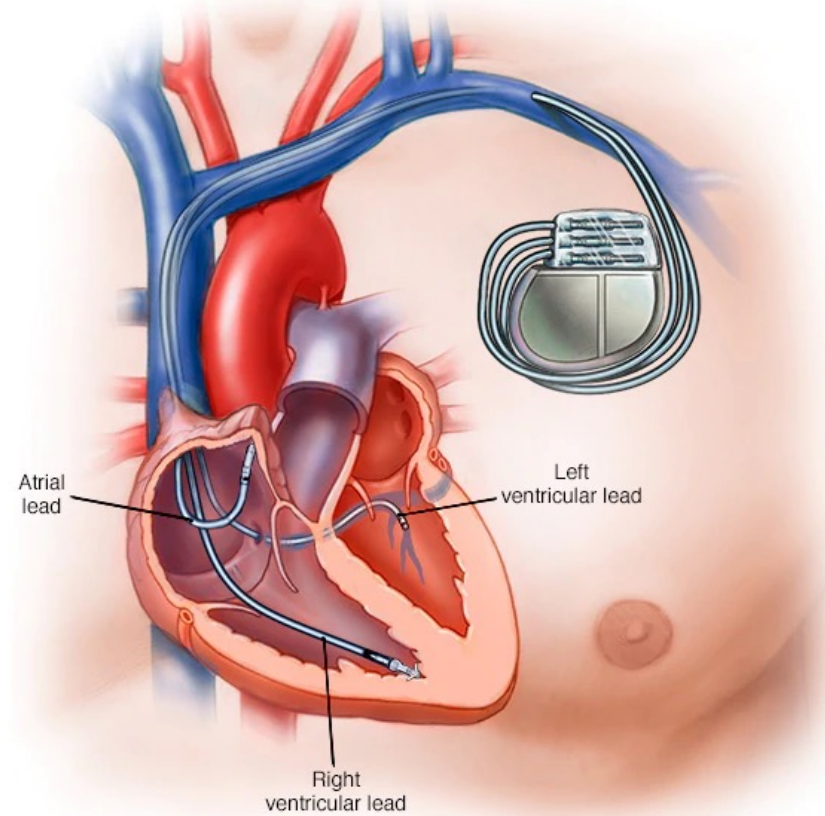
João Pedro Norenberg²

Americo Cunha Jr¹

¹Universidade do Estado do Rio de Janeiro

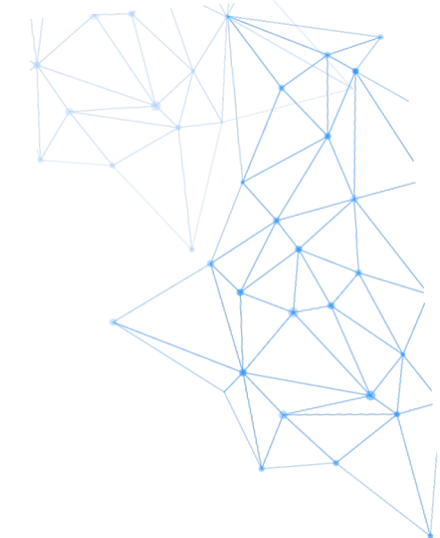
²Universidade Estadual Paulista



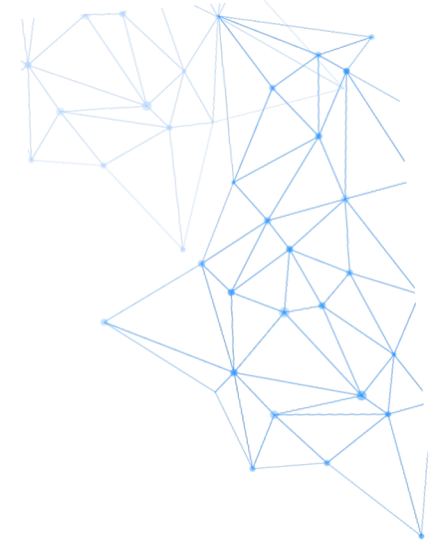


© MAYO FOUNDATION FOR MEDICAL EDUCATION AND RESEARCH. ALL RIGHTS RESERVED.

Fonte: <https://www.mayoclinic.org/tests-procedures/pacemaker/about/pac-20384689>



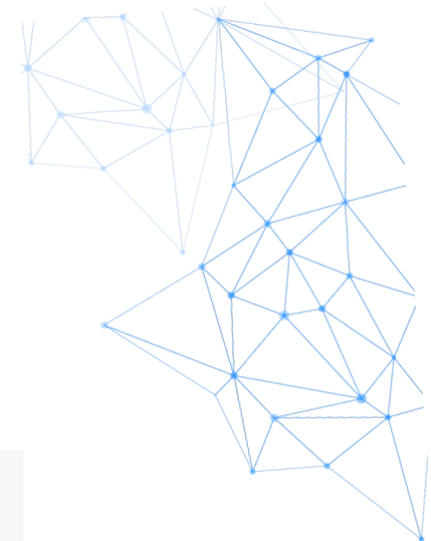
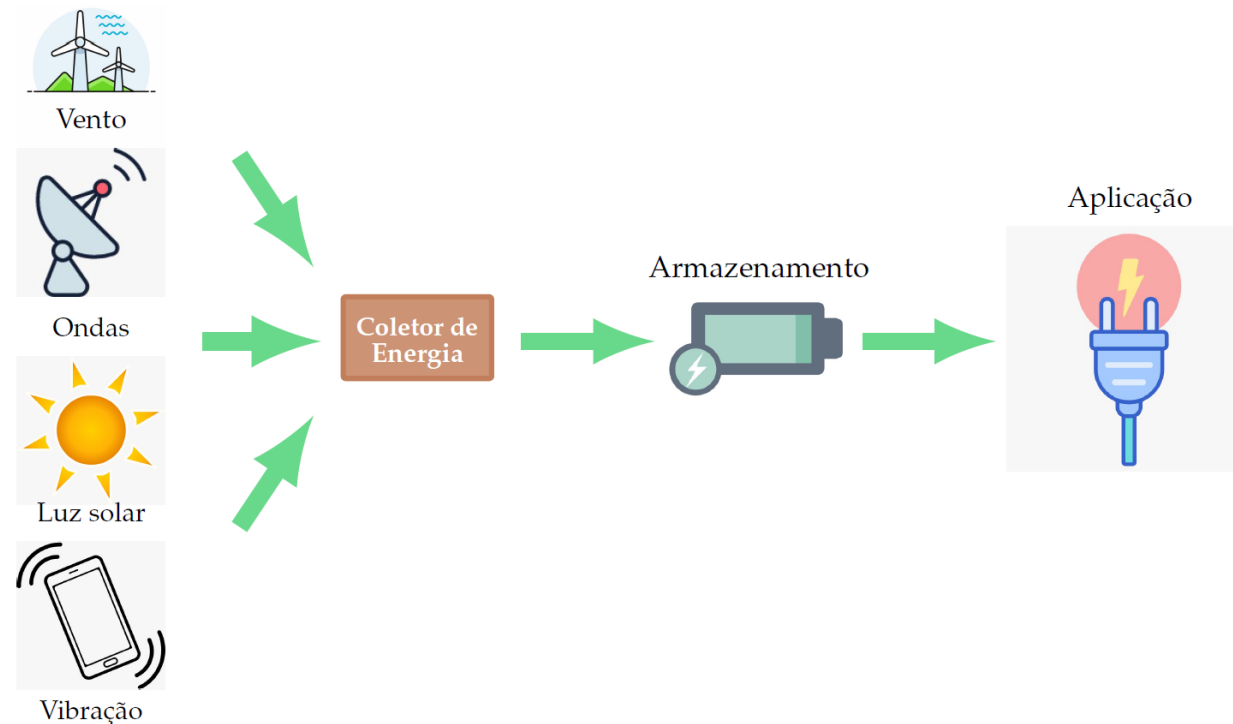
- Introdução
- Sistema Dinâmico
- Ferramentas Computacionais
- Resultados Numéricos
- Considerações Finais



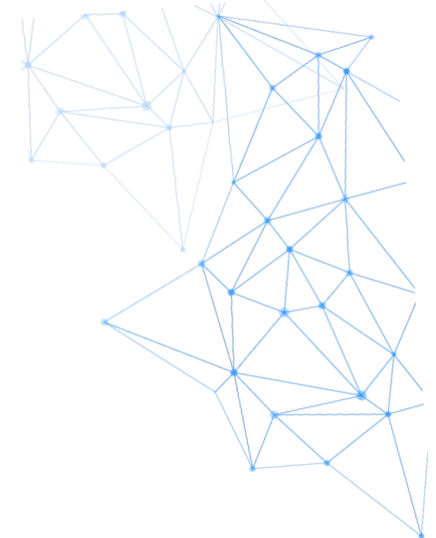
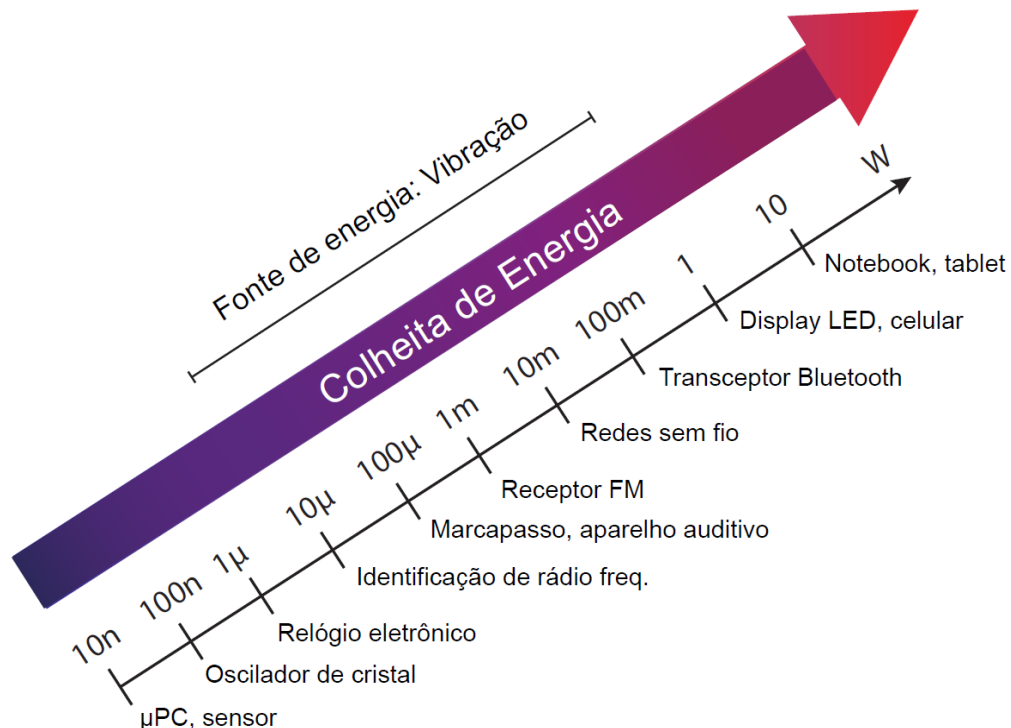
Introdução



Conceito de Colheita de Energia



Escala de Energia por Vibração



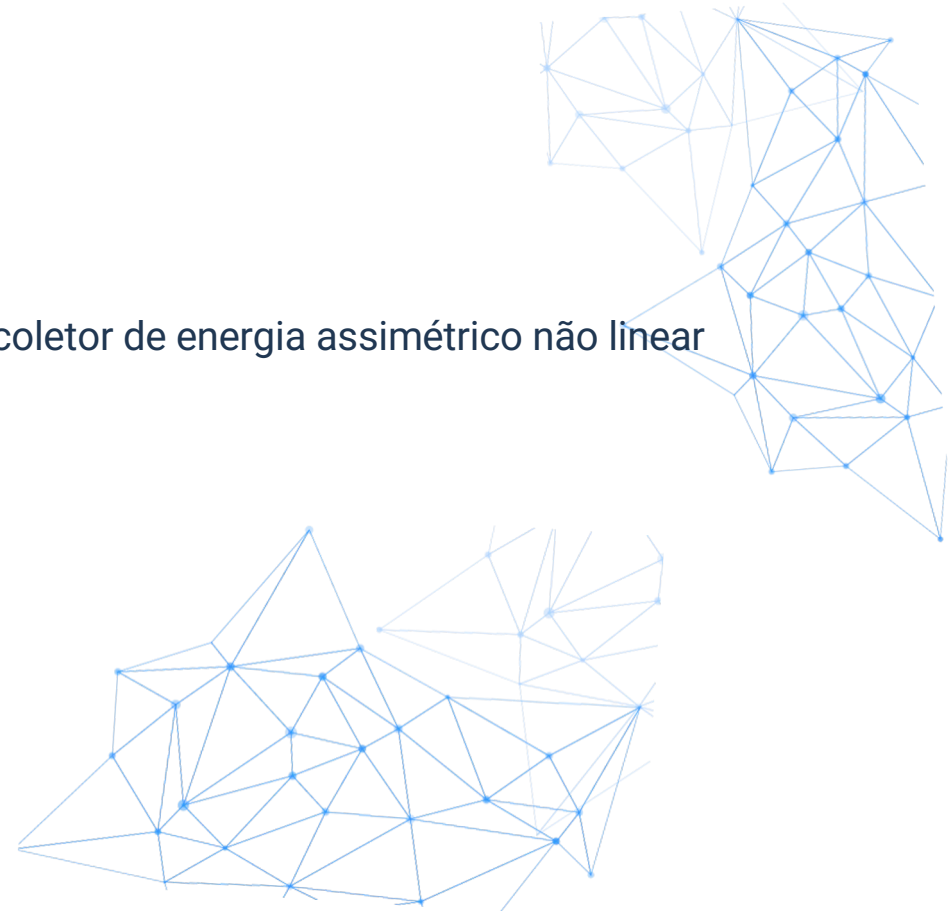
Fonte: <https://passive-components.eu/energy-harvesting-is-not-fiction-anymore-2/>



Objetivos da Pesquisa

Investigar o comportamento da dinâmica do dispositivo coletor de energia assimétrico não linear por meio das:

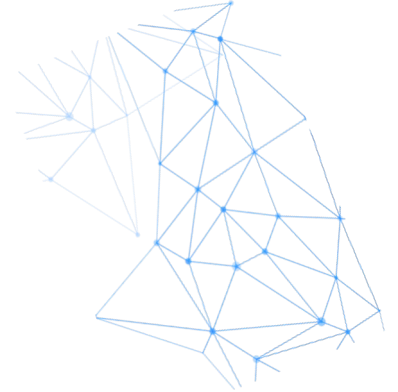
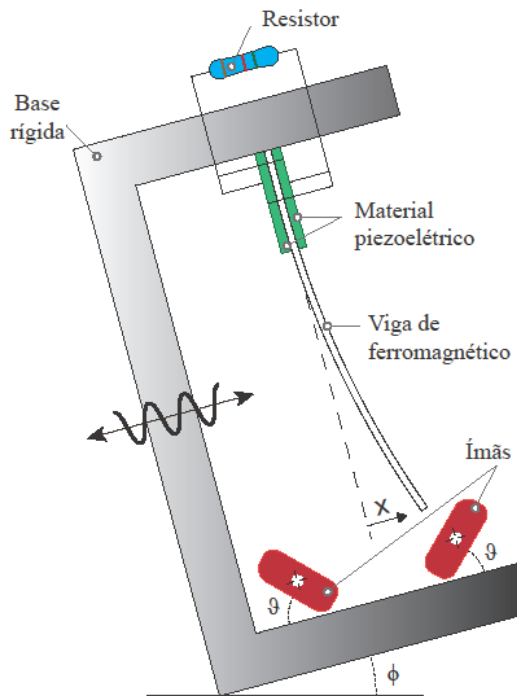
- Bacias de atração
- Teste 0-1 para caos
- E sobre uma faixa de amplitude de forçamento



Sistema Dinâmico



Dispositivo Coletor de Energia Não Linear



$$\ddot{x} + 2\xi\dot{x} - 0,5x(1 + 2\delta x - x^2) - \chi v - p\sin\phi = f\cos\Omega t$$

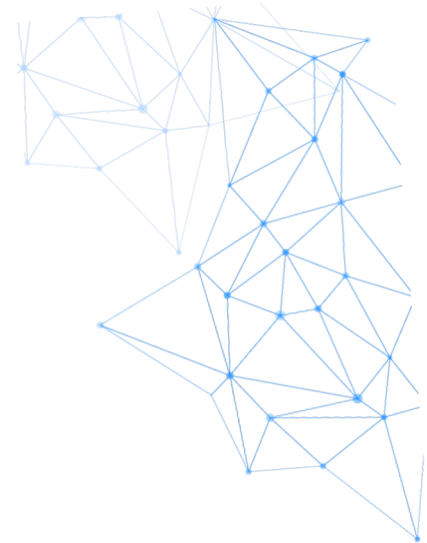
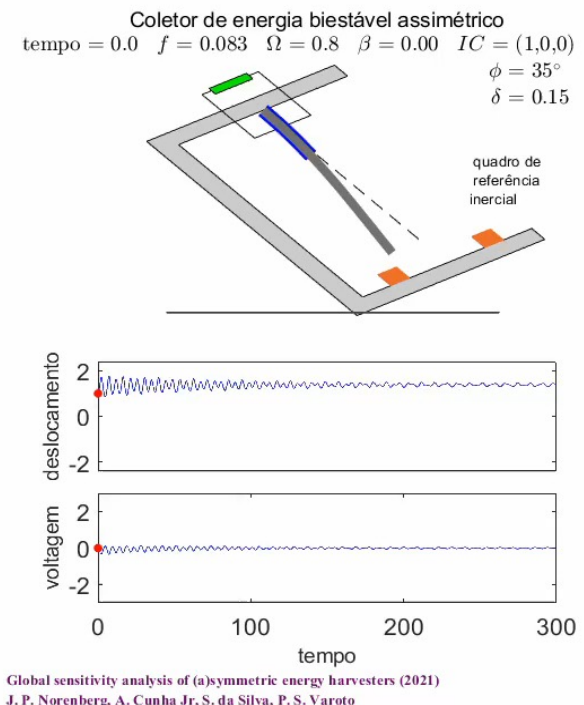
$$\dot{v} + \lambda v + \kappa \dot{x} = 0$$

$$x(0) = x_0, \dot{x}(0) = \dot{x}_0, v(0) = v_0$$

Norenberg, J. P., Cunha. Jr, A., Silva, S. and Varoto, P. S. Global sensitivity analysis of (a)symmetric energy harvesters, Preprint, arXiv:2107.04647, 2021.



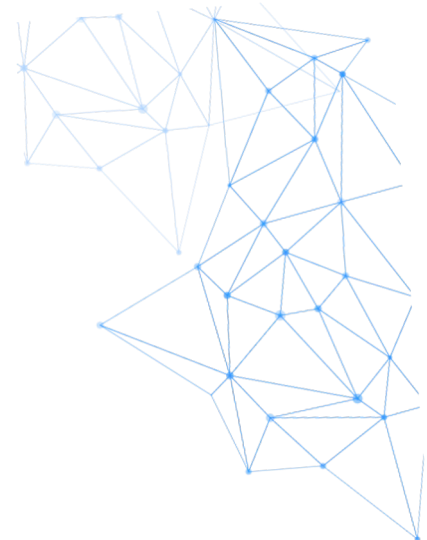
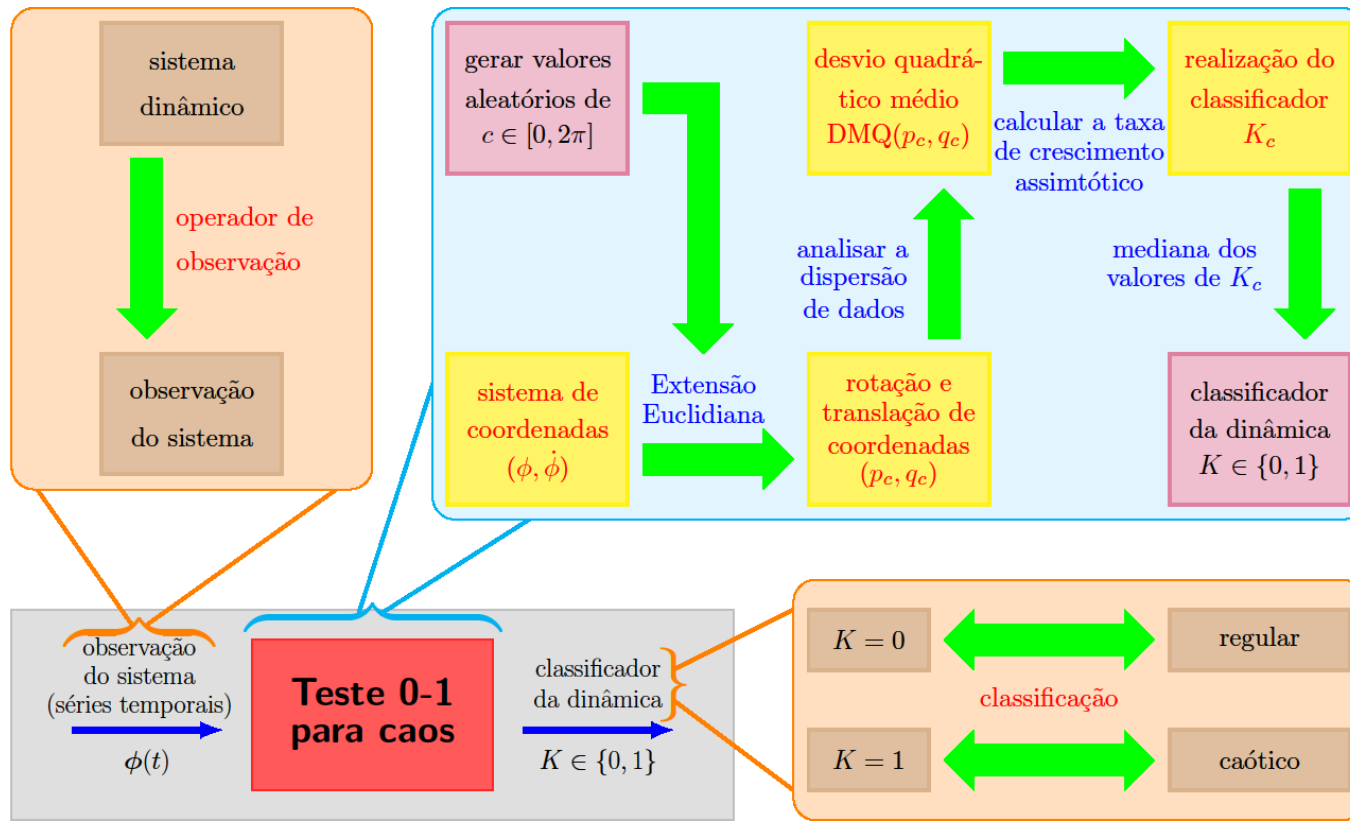
Animação do Dispositivo



Ferramentas Computacionais



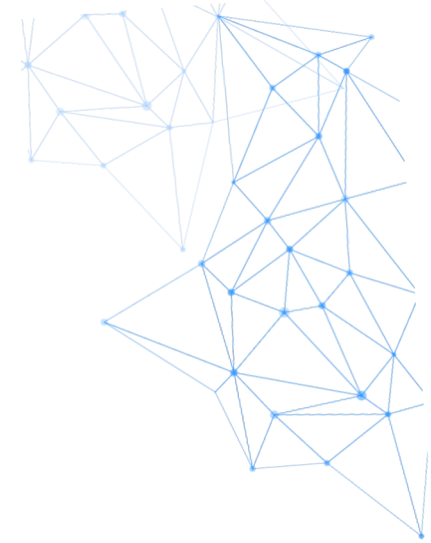
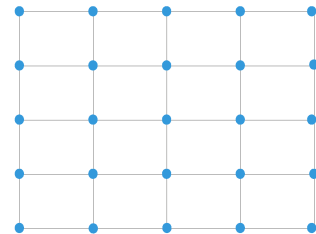
Teste 0-1 para Caos



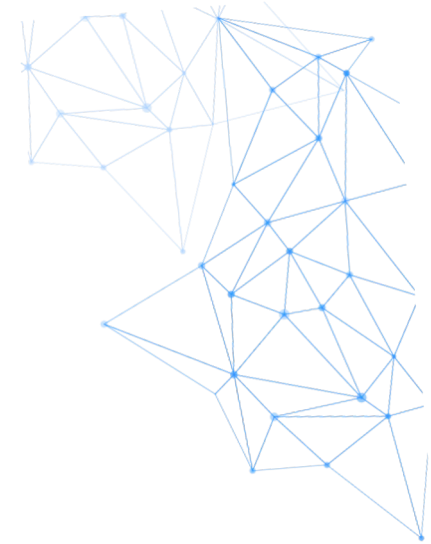
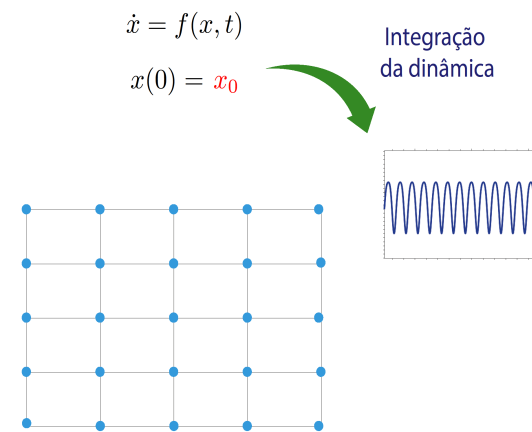
Bacias de Atração

$$\dot{x} = f(x, t)$$

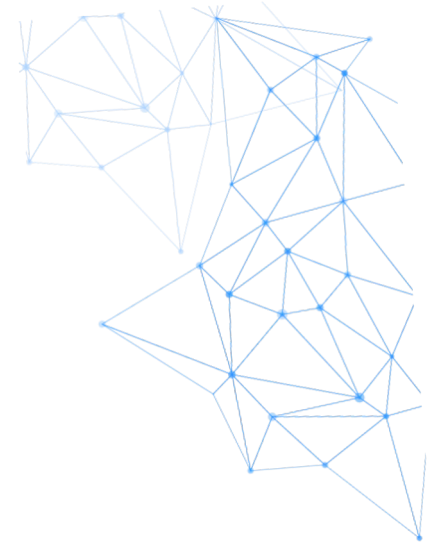
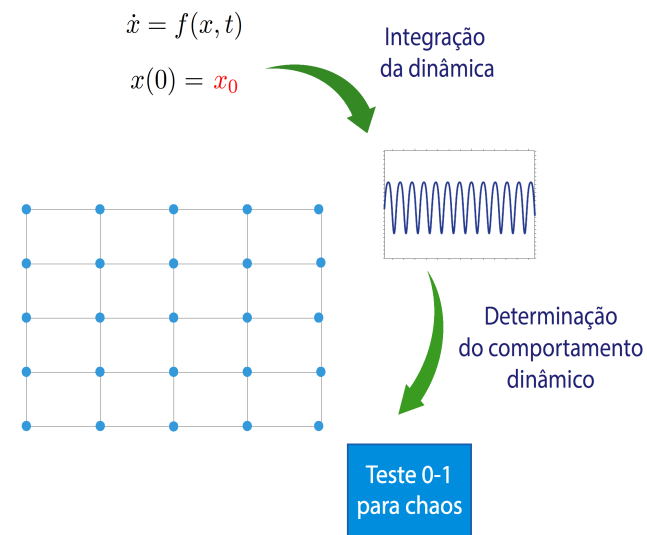
$$x(0) = \textcolor{red}{x}_0$$



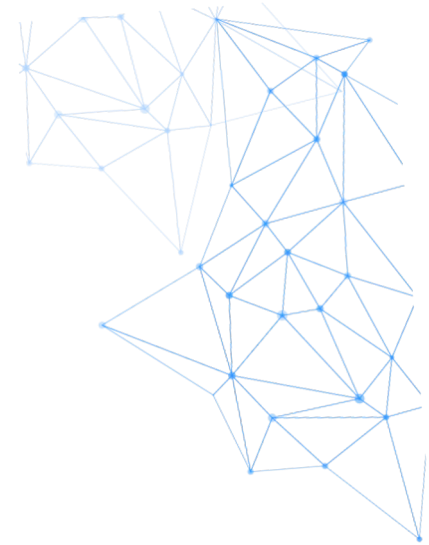
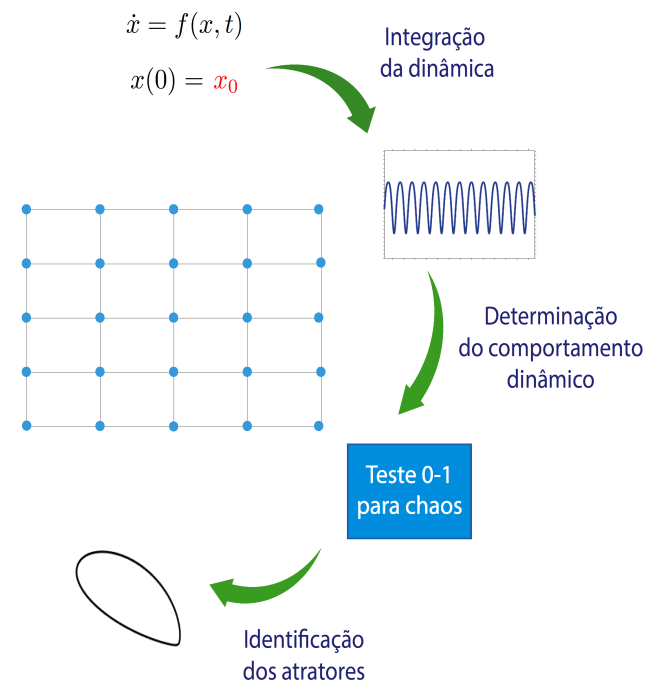
Bacias de Atração



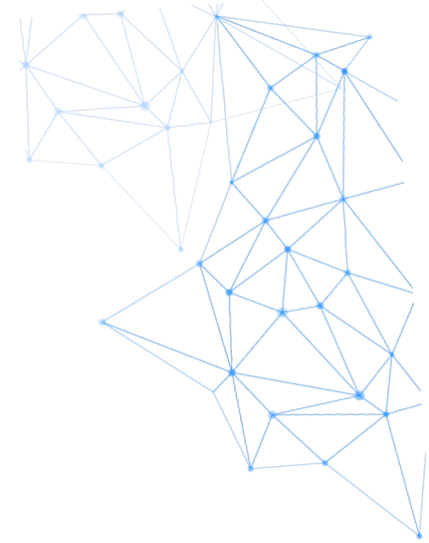
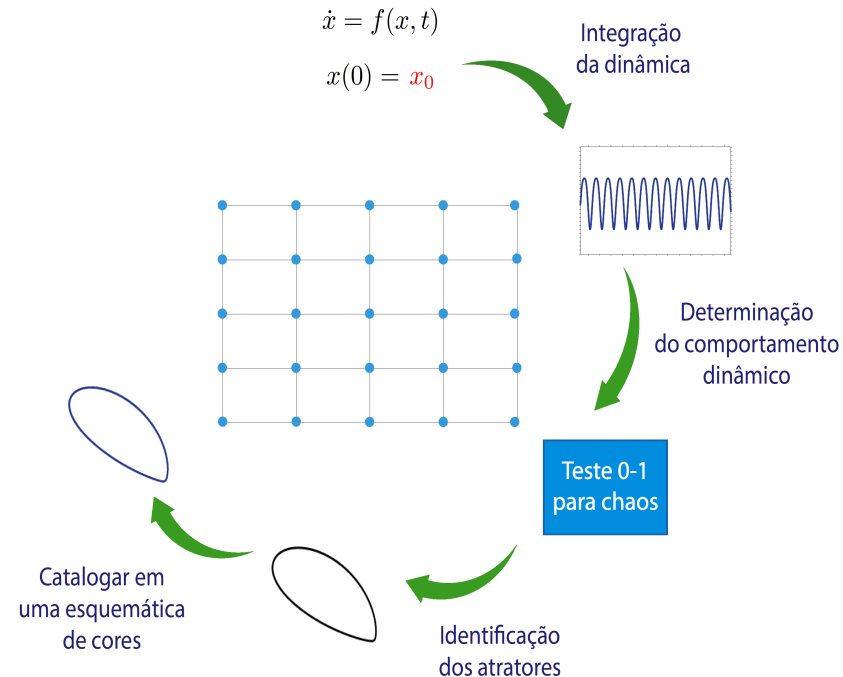
Bacias de Atração



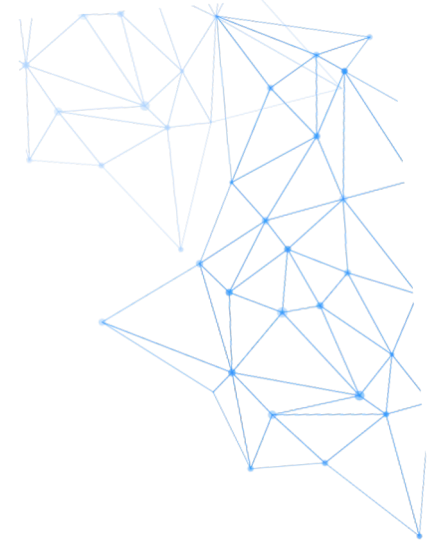
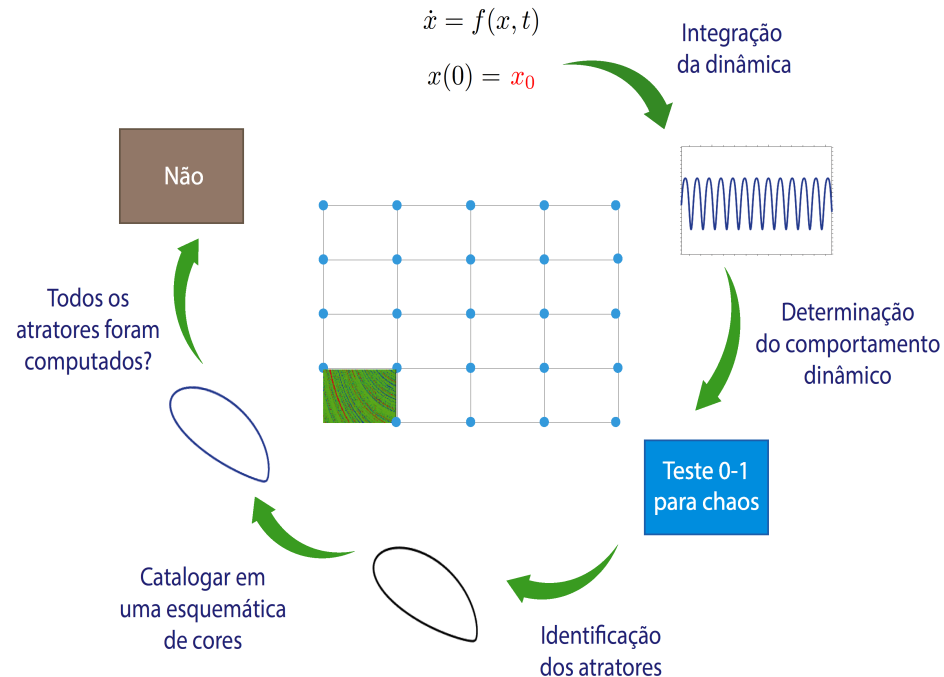
Bacias de Atração



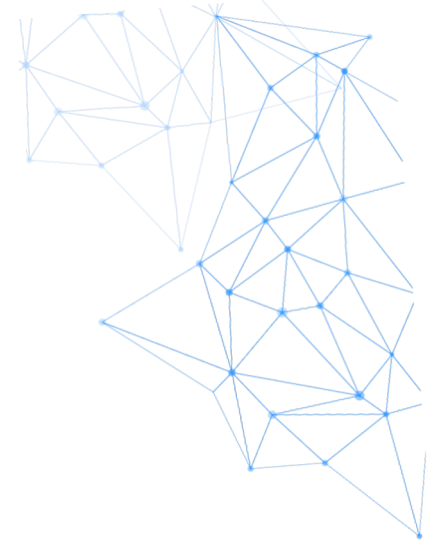
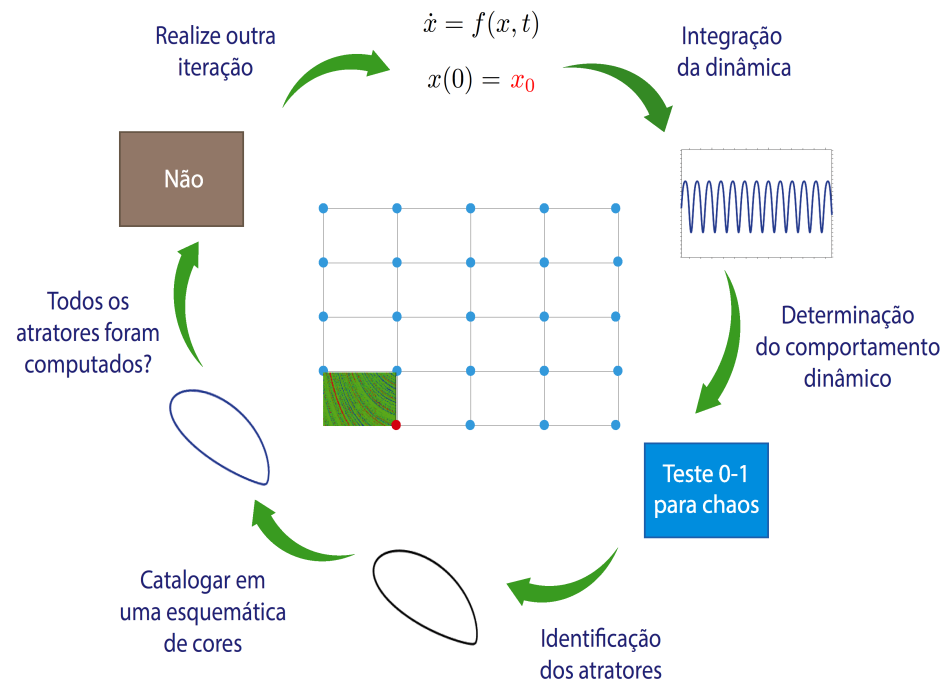
Bacias de Atração



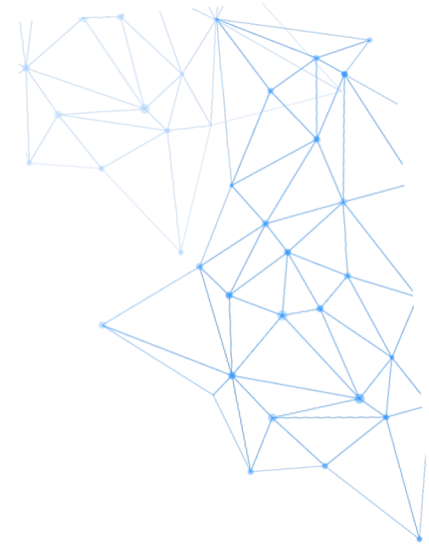
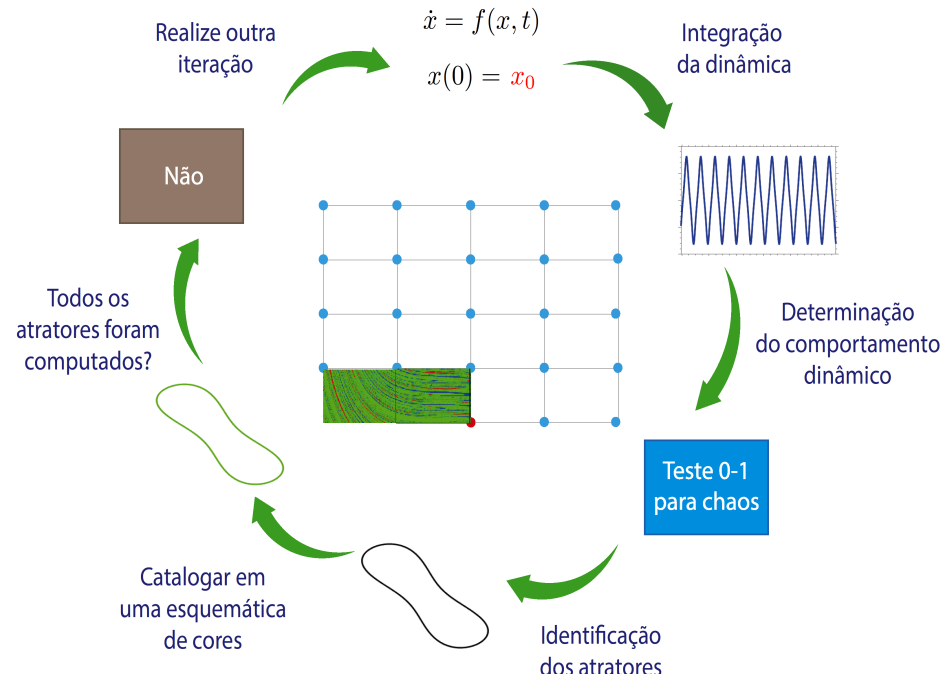
Bacias de Atração



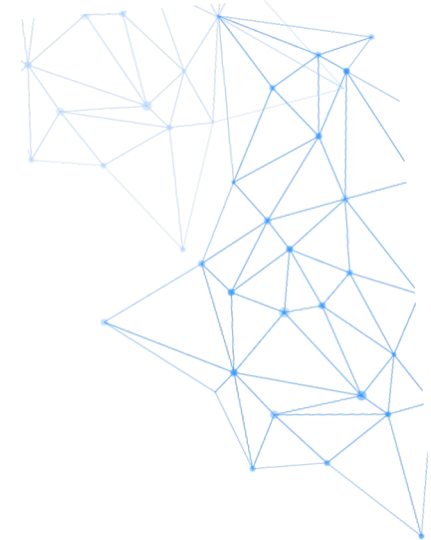
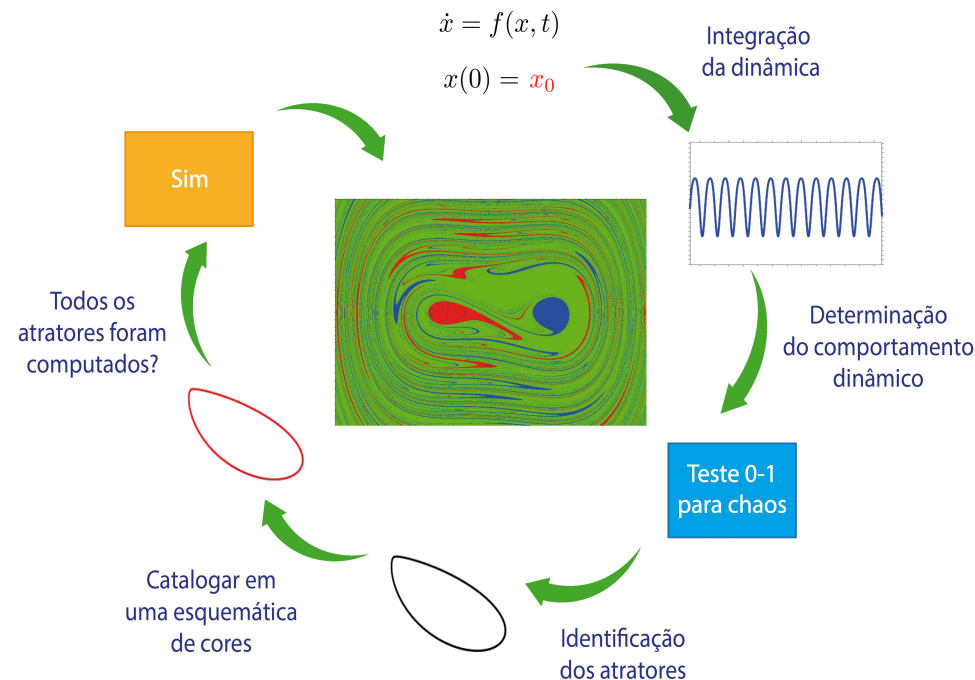
Bacias de Atração



Bacias de Atração



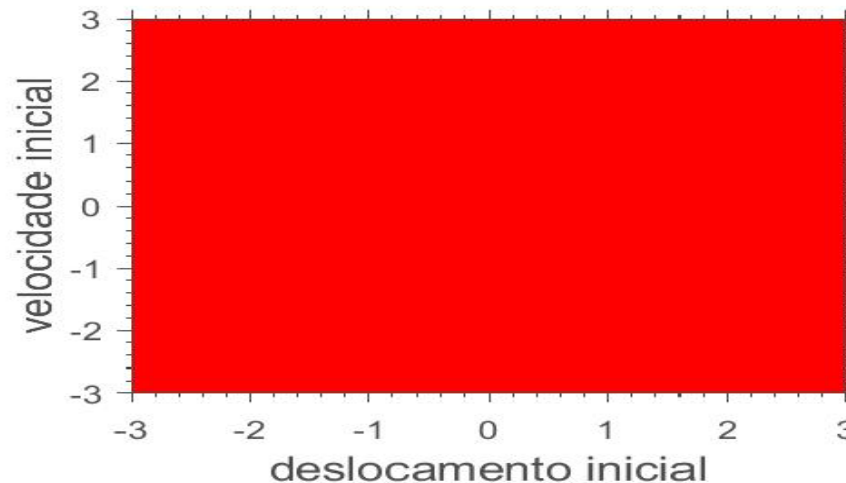
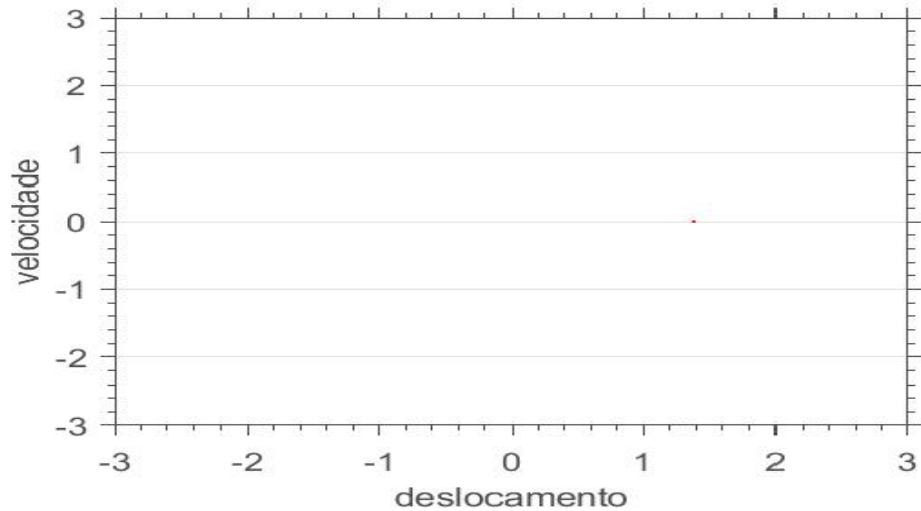
Bacias de Atração



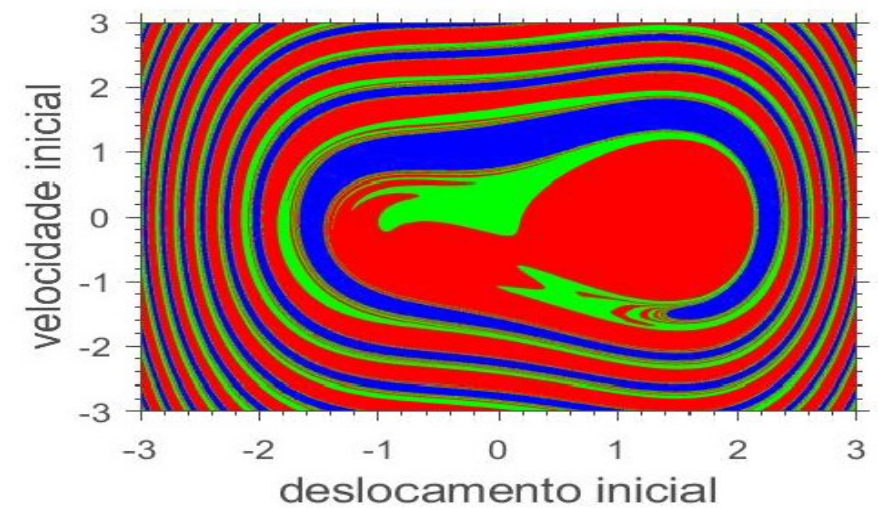
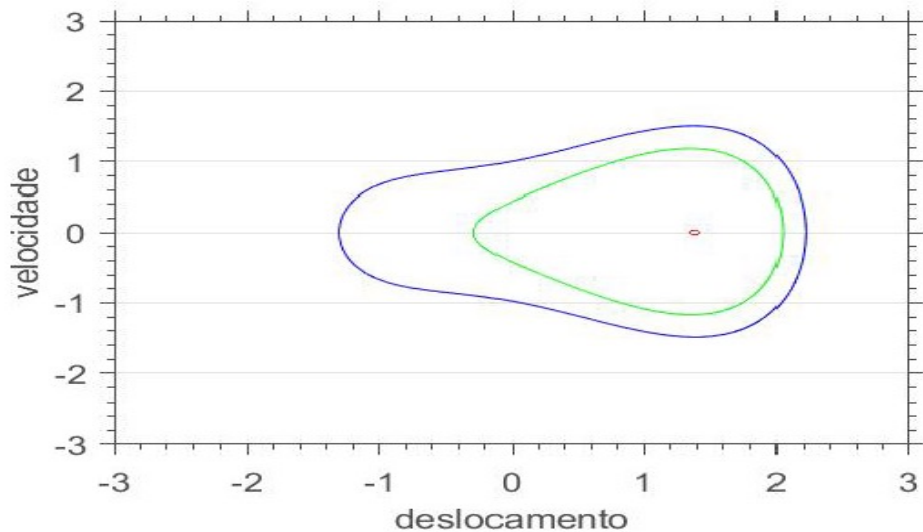
Resultados Numéricos



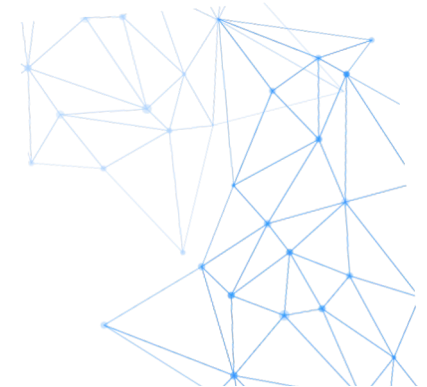
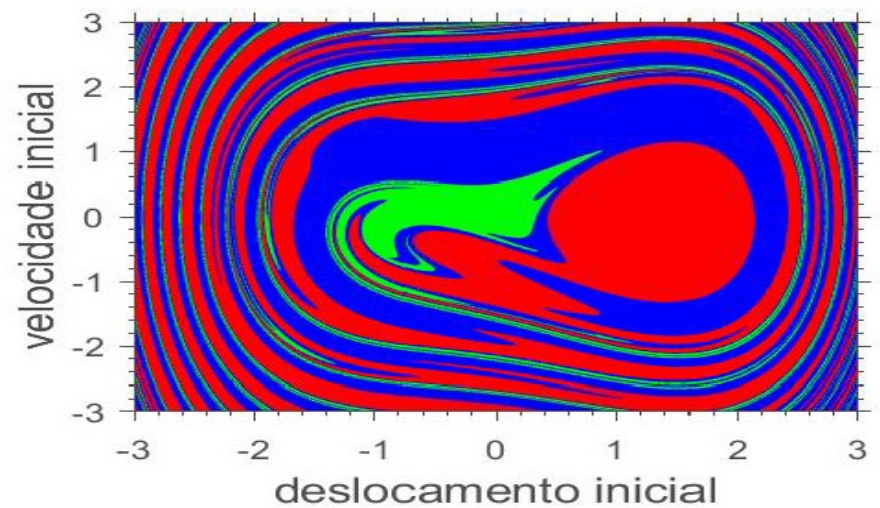
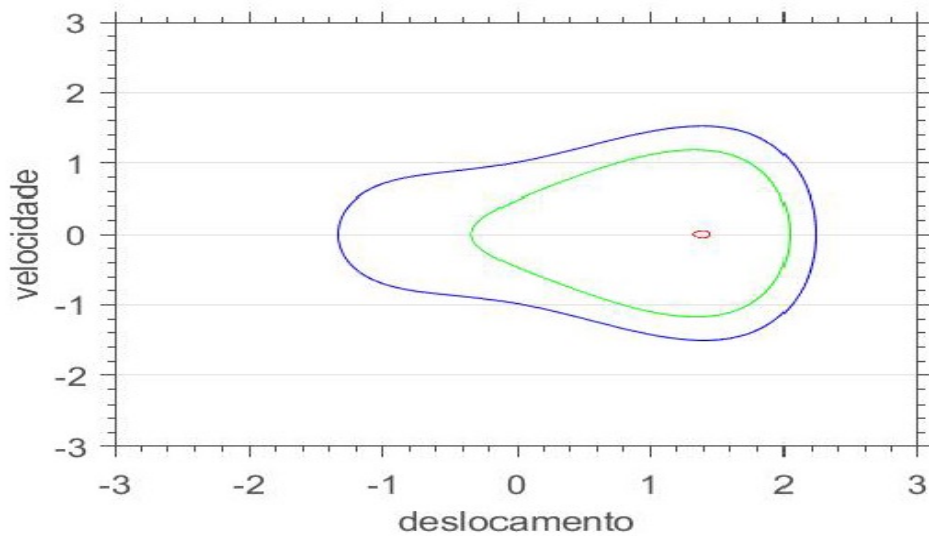
Amplitude de Forçamento: 0,019



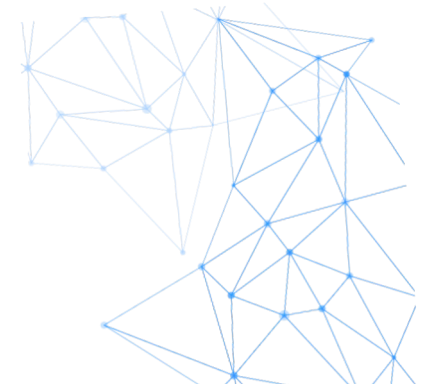
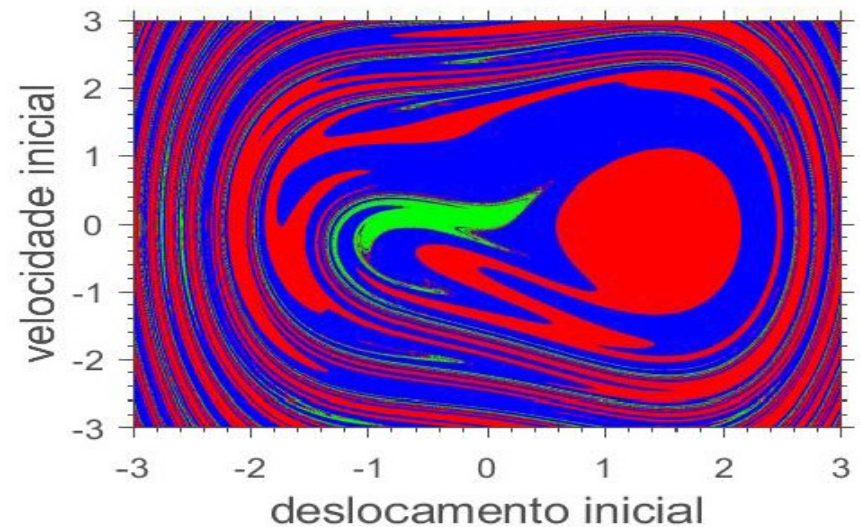
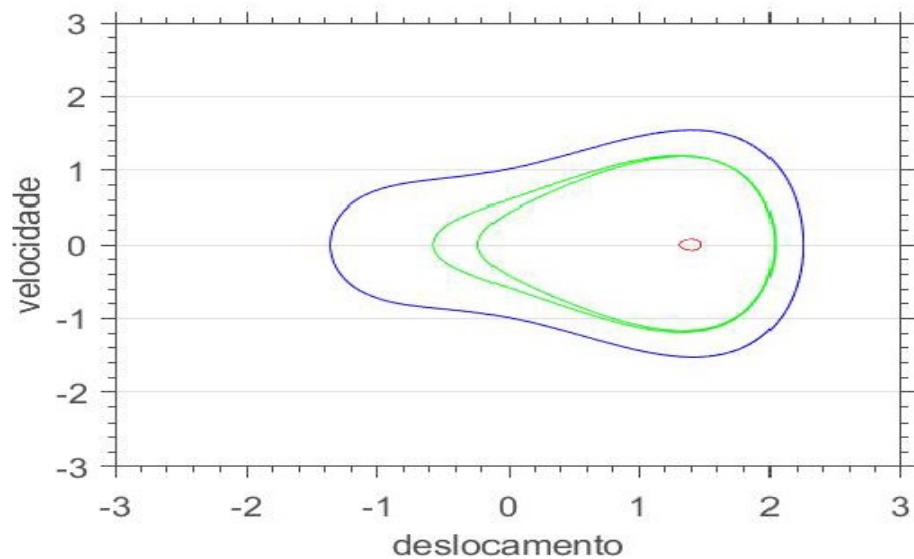
Amplitude de Forçamento: 0,051



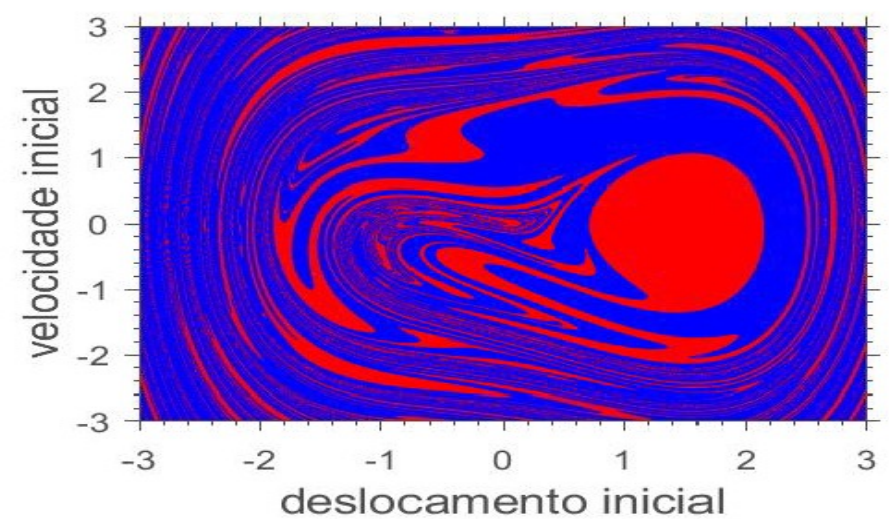
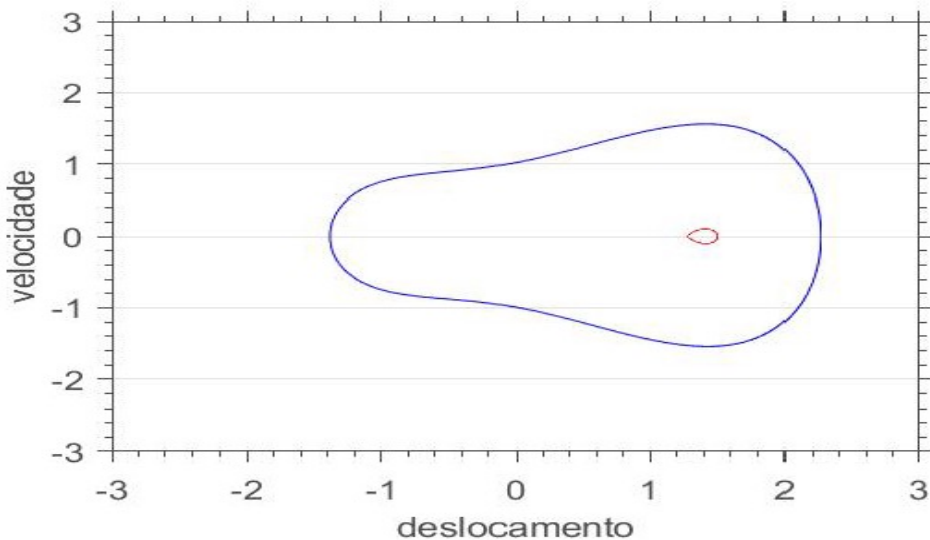
Amplitude de Forçamento: 0,083



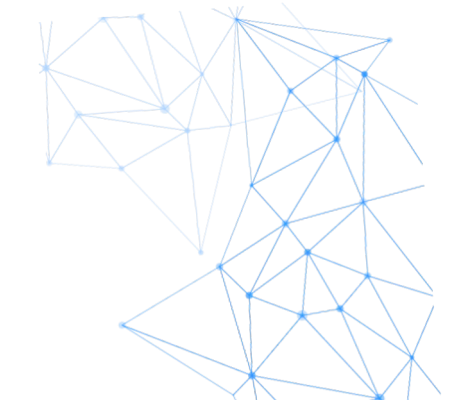
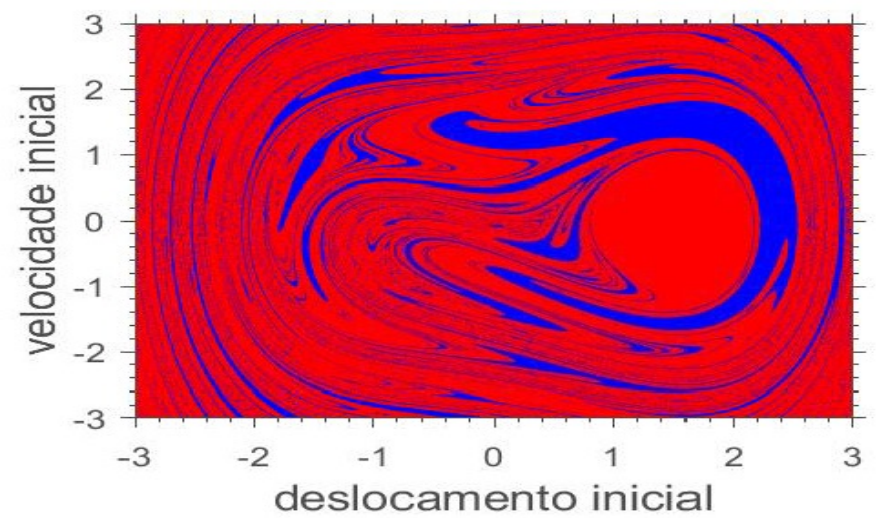
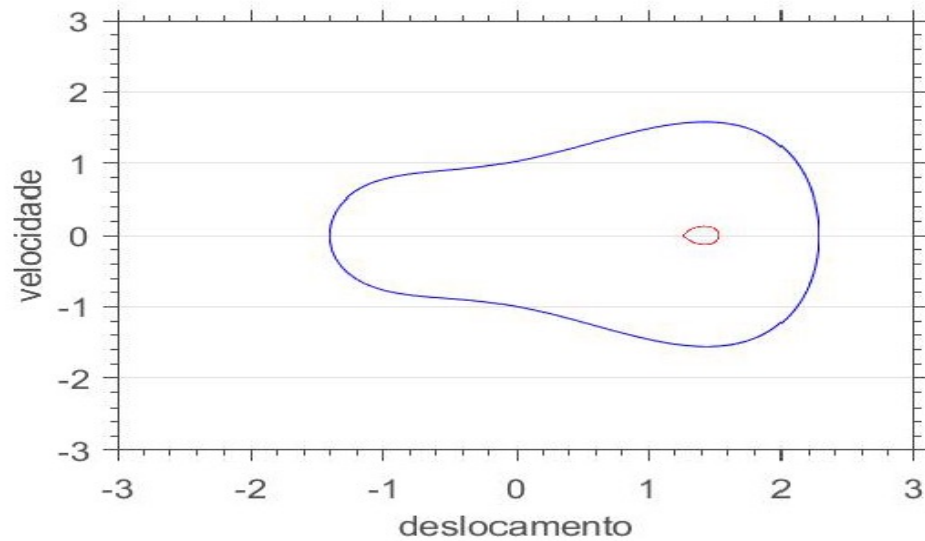
Amplitude de Forçamento: 0,115



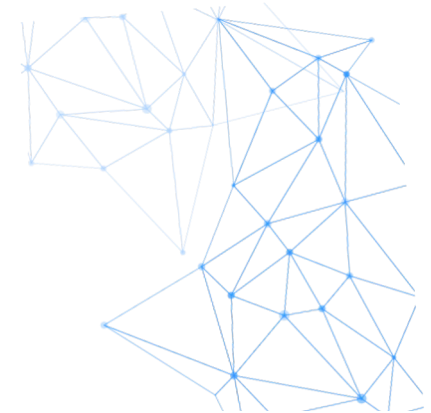
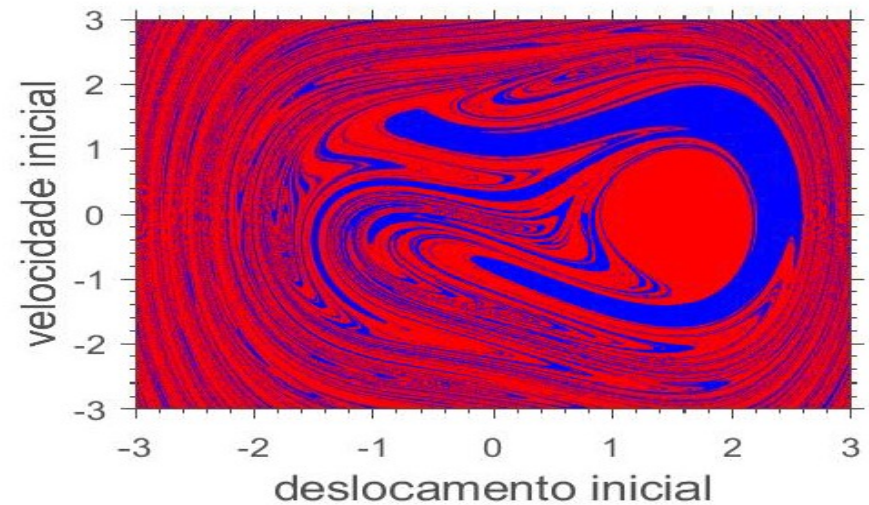
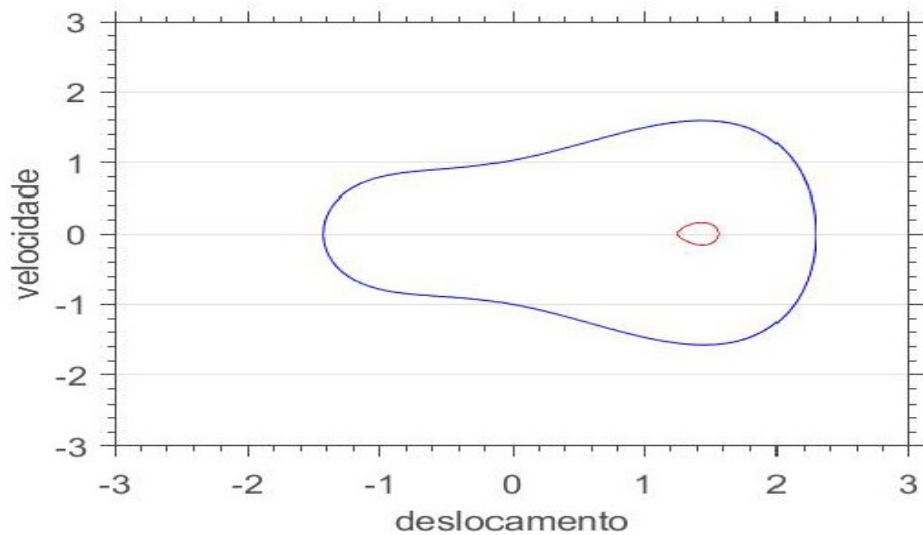
Amplitude de Forçamento: 0,147



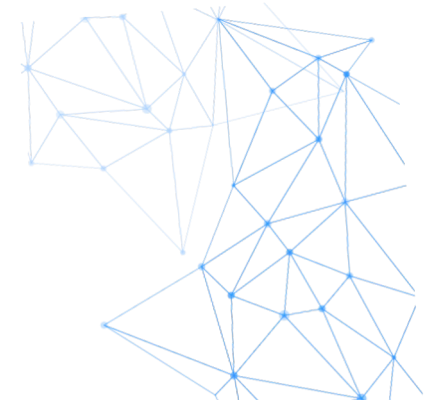
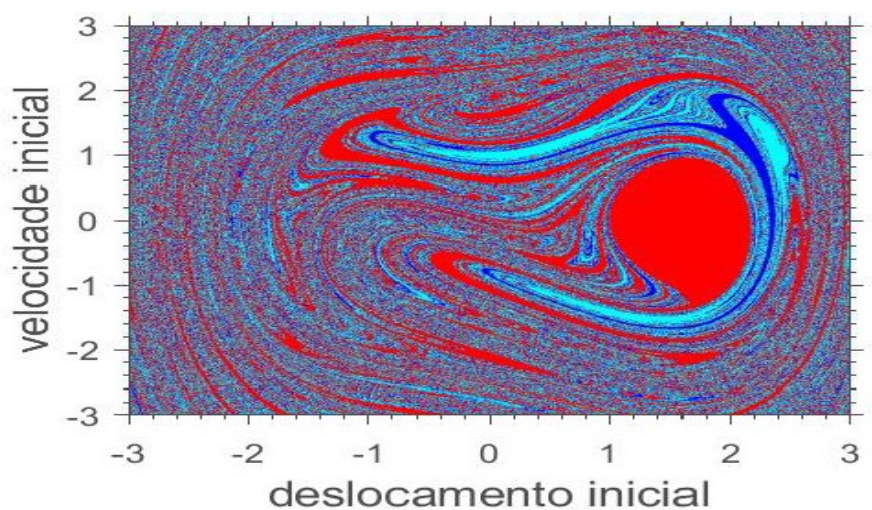
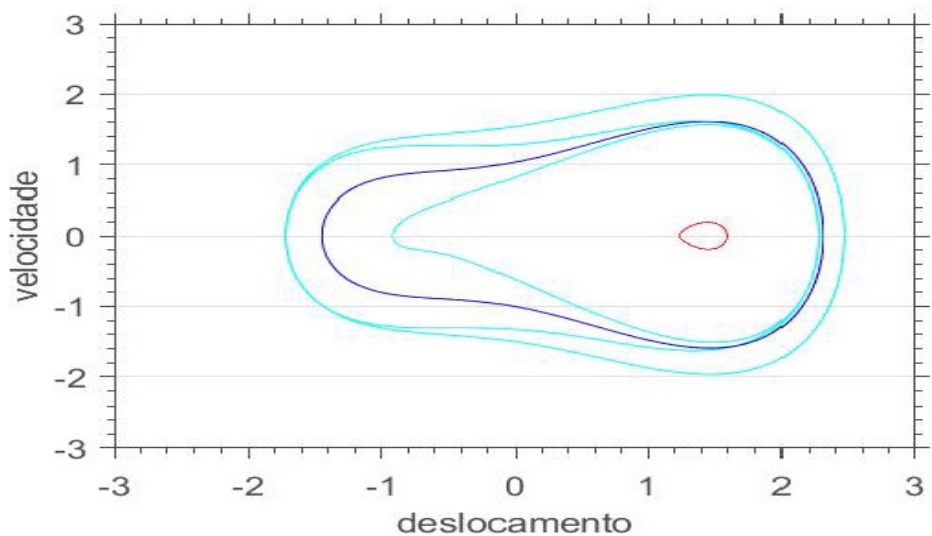
Amplitude de Forçamento: 0,179



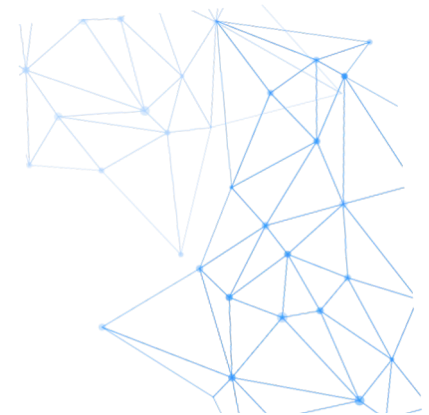
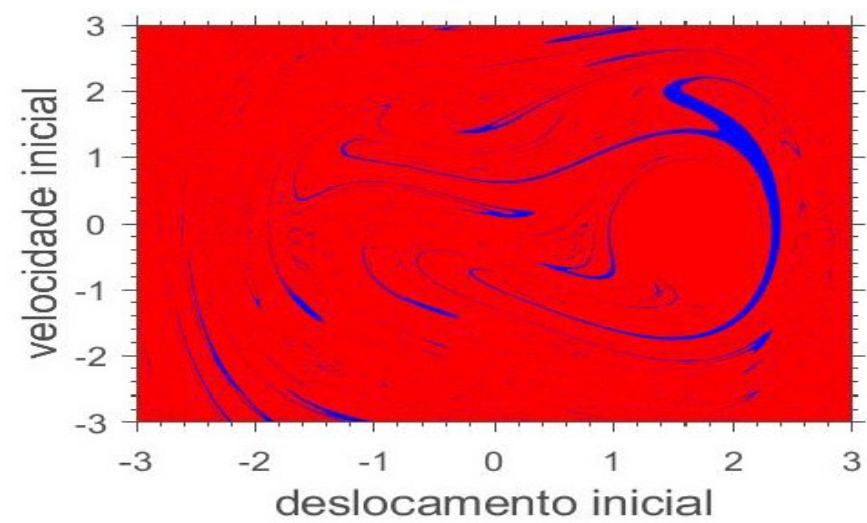
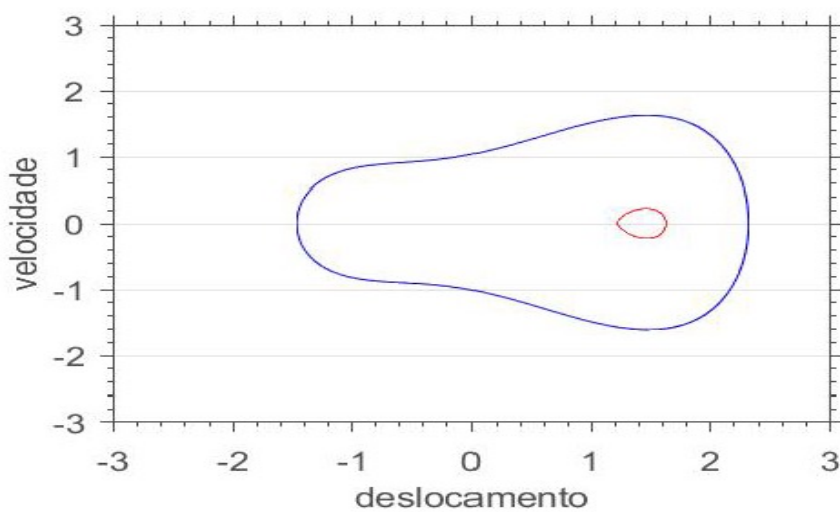
Amplitude de Forçamento: 0,211



Amplitude de Forçamento: 0,243



Amplitude de Forçamento: 0,275



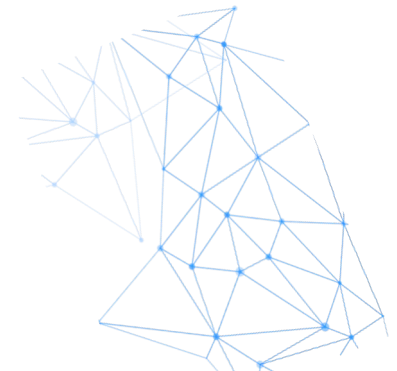
Considerações Finais



Considerações Finais

Conclusões:

- A dinâmica do sistema é sensível as condições iniciais, podendo apresentar diferentes soluções
- Na faixa de alta amplitude de excitação o sistema apresenta maiores condições de ter órbita de baixa de energia
- Nem todas as configurações analisadas apresentaram bacias fractais



STONEHENGE



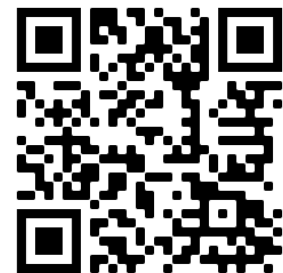
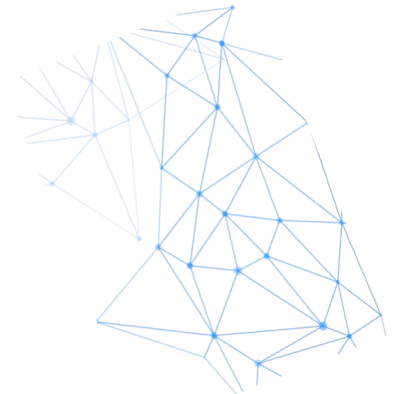
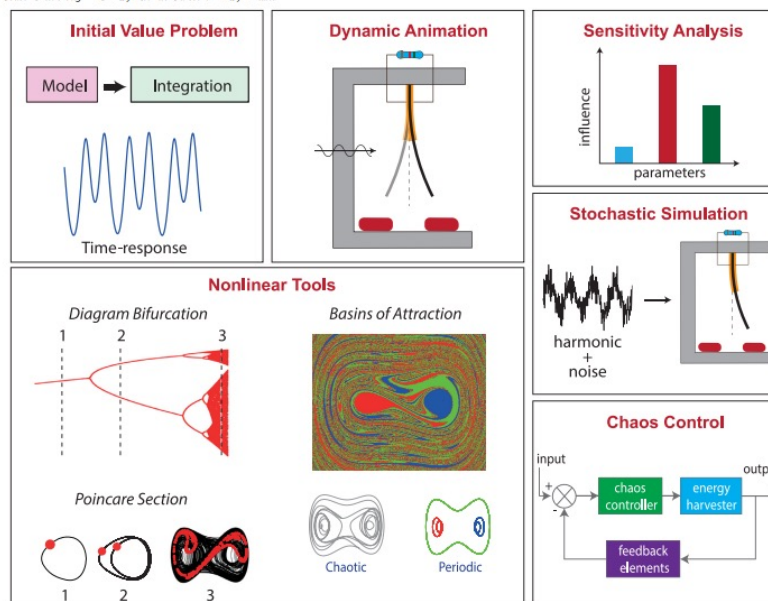
Original software publication

STONEHENGE — Suite for nonlinear analysis of energy harvesting systems

João Pedro Norenberg ^a, João Victor Peterson ^b, Vinicius Gonçalves Lopes ^b, Roberto Luo ^b, Leonardo da Roca ^b, Marcelo Pereira ^b, José Geraldo Telles Ribeiro ^b, Americo Cunha Jr ^{b,*}

^a São Paulo State University – UNESP, Ilha Solteira - SP, Brazil

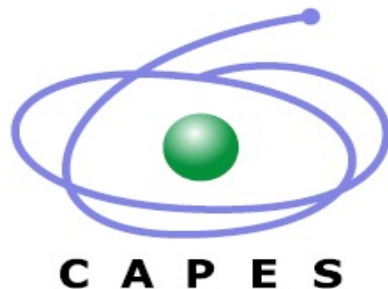
^b Rio de Janeiro State University – UERJ, Rio de Janeiro - RJ, Brazil



Agradecimentos



Conselho Nacional de Desenvolvimento
Científico e Tecnológico

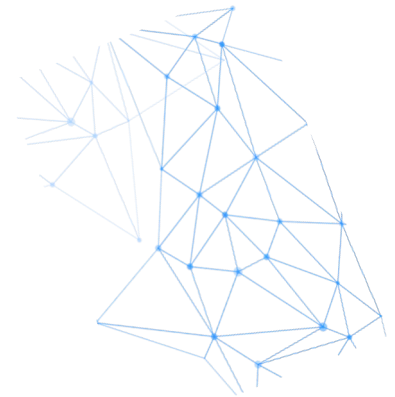


Fundaçao Carlos Chagas Filho de Amparo
à Pesquisa do Estado do Rio de Janeiro



Associação Brasileira de Engenharia e Ciências Mecânicas





Obrigado pela atenção!

cai.roberto@graduacao.uerj.br

